

A Study on the Performance of Classifiers and Extracted Features in Discriminating EEG Patterns of Mental Activities Related to Four Main Directions

Mahsa Bagheri^{1*}, Ali Pourmohammad², Ehsan Imani¹

1- MSc Student in Electronic Engineering, Department of Telecommunication, Malek Ashtar Industrial University, Tehran, Iran.

2- PhD, Department of Electronic, Amir Kabir University, Tehran, Iran.

Received: 25 Aug 2015, Accepted: 28 Oct 2015

Abstract

Background: The purpose of this research is to design a Brain-Computer Interface to discriminate the brain signals while the brain images four main directions. To be innovative, the subjects have imaged the aimed directions by power of imagination, and for the first time, the ICA algorithm has been used to detect the aimed signal and to eliminate the artifacts.

Materials and Methods: In this descriptive-analytic study, signals are recorded by using a Micromed device and a 19-channel helmet in unipolar mode. The statistical population included three persons in the age range of 25 to 30 and the designed task consisted of 24 slides of four main directions.

Results: Simulations have shown that the best classification accuracy was the outcome of the 2.5-second time windowing and the best choice for extracting features was the AR coefficients of 15 order. There was no significant difference between the classification accuracy of different implementation of the Artificial Neural Network classifier with different number of layers and neurons and different classification functions. In comparison with the Neural Network, the Linear Discriminant Analysis (LDA) showed better classification accuracies.

Conclusion: The results of this research are in accordance with the results of the methods such as FMRI and methods based on the brain signals in vowel imagination. In this research, the best classification accuracy was obtained from the Linear Discriminant Analysis classifier by extracting the target signal from the output of the ICA algorithm and extracting the AR coefficients as feature and the 2.5-second time windowing. The Linear Discriminant Analysis classifier result the best classification accuracies.

Keywords: Brain-computer interfaces (BCI), Electroencephalograph (EEG), Independent component analysis (ICA), Linear discriminant analysis (LDA), Neural network

*Corresponding Author:

Address: Department of Telecommunication, Malek Ashtar Industrial University, Tehran, Iran.
Email: mahsa.bagheri89@yahoo.com

بررسی عملکرد تفکیک کننده‌ها و ویژگی‌های استخراجی جهت تفکیک الگوهای مغزی مربوط به فعالیت‌های ذهنی وابسته به چهار جهت اصلی

مهسا باقری^{۱*}، علی پورمحمد^۱، احسان ایمانی^۱

۱ کارشناسی ارشد مهندسی برق، گروه مخابرات، دانشگاه صنعتی مالک اشتر، تهران، ایران.

۲ دکتری، گروه برق، دانشگاه امیرکبیر، تهران، ایران.

تاریخ دریافت: ۹۴/۶/۳ تاریخ پذیرش: ۹۴/۸/۶

چکیده

زمینه و هدف: هدف از پژوهش حاضر طراحی رابط مغز-رایانه جهت تفکیک سیگنال‌های مغزی در حین تصور چهار جهت اصلی می‌باشد. به منظور نوآوری، افراد جهت‌های مورد نظر را با کمک قدرت تخیل در ذهن تصویرسازی کردند. الگوریتم آنالیز اجزاء مستقل برای نخستین بار هم در جهت استخراج آرتیفیکت‌ها و هم در جهت تعیین سیگنال هدف استفاده گردید.

مواد و روش‌ها: در این مطالعه توصیفی-تحلیلی، ثبت سیگنال‌ها با دستگاه میکرومد و کلاه ۱۹ کاناله به صورت تک قطبی انجام شده است. جامعه آماری شامل ۳ فرد در بازه سنی ۲۵ تا ۳۰ سال و تکلیف طراحی شده شامل ۲۴ نمایش از چهار جهت اصلی بوده است.

یافته‌ها: شبیه‌سازی‌ها نشان داده‌اند که بهترین صحت‌های تفکیک به پنجره زمانی با طول ۲/۵ ثانیه مربوط بوده است و ویژگی ضرایب مدل خودبازگشتی مرتبه ۱۵ بهترین انتخاب برای ویژگی استخراجی است. برای تمامی حالت‌های شبکه عصبی با تعداد لایه‌ها و نورون‌ها و توابع جداساز مختلف، صحت‌های تفکیک، تفاوت قابل مقایسه‌ای نداشتند. در مقایسه با شبکه عصبی، آنالیز جداساز خطی (LDA) صحت‌های طبقه‌بندی بهتری را نشان داد.

نتیجه گیری: نتایج پژوهش حاضر با نتایج حاصل از روش‌های همچون تصویرسازی تشدید مناطقی کارکرده (fMRI) و روش‌های مبتنی بر سیگنال‌های مغزی در تصور واکه‌ای هم پوشانی دارد. در این پژوهش با استخراج سیگنال هدف از خروجی الگوریتم آنالیز اجزای مستقل و استخراج ویژگی ضرایب خودبازگشتی و پنجره گذاری با طول ۲/۵ ثانیه بهترین صحت تفکیک از تفکیک کننده آنالیز جداساز خطی حاصل گشت.

واژگان کلیدی: رابط مغز-رایانه، سیگنال‌های مغزی، آنالیز اجزاء مستقل، آنالیز جداساز خطی، شبکه عصبی

استفاده از الگوریتم ICA انجام داده است و مشاهده می‌شود که لوب پس سری و لوب‌های گیجگاهی در تولید کلمه آشکار و ناآشکار فعالیت دارند(۵). دو مطالعه دیگر(۶، ۷) بر روی سیگنال‌های مغزی (EEG) انجام شده است، به طوری که شرکت کنندگان در این آزمایش‌ها جهت تصور واکدای مورد آزمون قرار گرفته‌اند. در مطالعه داسالا و همکاران از کلاس بند ماشین بردار پشتیبان (SVM) جهت تفکیک سیگنال‌ها استفاده شده که کارایی کلاس بندی کلی در بازه‌ی ۶۸ تا ۷۸ درصد است(۶). در نتیجه می‌توان از این سیستم برای ارتباط مغز- رایانه استفاده کرد. در مطالعه دنگ و همکاران از روش بازشناسی کور مرتبه دوم (SOBI) استفاده شده است، نتایج کلاس بندی سه ریتم نشان می‌دهد که میانگین کارایی بین همه داوطلبان، با استفاده از مؤلفه‌های داده SOBI، ۵۸/۰ درصد است(۷).

در پژوهش انجام شده در سال ۲۰۱۲ بر روی بیمارانی که قدرت تکلم خود را در پی عارضه دستگاه عصبی از دست داده بودند از سیگنال‌های ناشی از تحریک بینایی استفاده شد و کاربر با انتخاب حروف از یک صفحه کلید مجازی به کمک سیگنال پتانسیل برانگیخته P300 با دقت بالای ۸۵ درصد کلمات و جملات مورد نظر را ایجاد می‌کرد(۸، ۹). در مطالعات صورت گرفته برای کنترل اشیاء در سال‌های ۲۰۰۹ و ۲۰۱۰، از داوطلبان خواسته شد که در یک فضای مجازی اشیاء مورد نظر را کنترل نمایند(۱۰، ۱۱). برای مثال از سیگنال‌های مغزی برای کنترل حرکت مکان نمای موشواره استفاده شد. برای این منظور از سیگنال‌های تصویر حرکتی(۱۲) و یا پتانسیل الکتریکی برانگیخته(۱۳) استفاده گردید.

در کاربردهای سیستم‌های رابط مغز- رایانه جهت افزایش بازدهی می‌توان با انتخاب ویژگی‌های مناسب با قابلیت تفکیک بالا و استفاده از طبقه‌بندی کننده‌های گوناگون با دقت بالا به هدف مورد نظر دست یافت. هم‌چنین با استفاده از بازخورد (فیدبک) می‌توان عوامل تاثیرگذار بر تصور فرد را شناسایی کرد و عوامل مخدوش

مقدمه

بیماری‌های مختلفی می‌توانند باعث صدمه دیدن سیستم عصبی عضلاتی که مغز از طریق آن قادر به ایجاد ارتباط و اعمال کنترل به محیط خارج است، شوند. بیماری‌هایی از قبیل سختیدگی جانبی فروافتدگی عضلات، حمله به ساقه مغز، آسیب‌های مغزی-نخاعی، فلنج مغزی و فلنج چندگانه مثال‌هایی از انواع بیماری‌هایی هستند که مسیر عصبی کنترل عضلات در آن‌ها آسیب می‌بیند(۱). در شرایط حاد بیماری، فرد مبتلا ممکن است تمام حرکات ارادی خود را از دست بدهد، حتی ممکن است حرکات چشم و تنفس که اعمالی غیر ارادی هستند نیز امکان‌پذیر نباشد که به این گونه بیماری اصطلاحاً فلنج شدگی گفته می‌شود. رابط مغز- رایانه (BCI) سیستمی است برای ارتباط مستقیم مغزاً با دنیای خارج که به کانال‌های خروجی متعارف عصبی و عضلانی مغز وابسته نمی‌باشد. در این سامانه، ابتدا امواج مغزی داوطلب به هنگام فعالیت‌های ذهنی مورد نظر ثبت می‌گردد و سپس با پردازش این سیگنال‌ها به کمک الگوریتم‌های پردازشی مناسب، به فرمان‌های کنترلی معنی‌دار برای رایانه و با یک دستگاه خارجی کنترل پذیر تبدیل می‌شوند. روند ترجمه افکار برای رایانه عبارت اند از: ۱- اندازه‌گیری سیگنال مغزی، ۲- پیش پردازش، ۳- استخراج ویژگی، ۴- طبقه‌بندی و ۵- کنترل ابزارهای جانبی که به ترتیب در مراحل استخراج ویژگی و طبقه‌بندی از روش‌های آماری استفاده شده است(۲).

شناخت دستگاه عصبی و فیزیولوژی مغز انسان قدم اول برای هرچه بهتر انجام دادن پژوهش حاضر می‌باشد. طبق نتایج به دست آمده از بررسی آنatomی مغز انسان در تولید گفتار، ناحیه ورنیک، ناحیه شکنج زاویدای و هیپوکامپ ارتباط تنگاتنگی با لوب پس سری (اکسی پیتال) دارند(۳). در یک پژوهش(۴) از تصویربرداری تشذیبد مغناطیسی کارکری (fMRI) و الگوریتم آنالیز اجزای مستقل (ICA) به منظور جداسازی دو گروه مفهومی از کلمات استفاده شد. در ادامه مطالعه‌ای مشابه نیز وجود دارد که آزمون تکمیل کلمات را بر روی تصاویر fMRI و با

تبدیل می‌شوند. در حال حاضر، رابطه‌ای مغز-رایانه از لحاظ کاربرد در زمینه‌های مختلف در مرحله تحقیق می‌باشد. تحلیل سیگنال‌های مغزی در کاربرد رابط مغز-رایانه به دو صورت انجام می‌شود: ۱- استفاده از پتانسیل الکتریکی برانگیخته و ۲- استفاده از سیگنال‌های مغزی خام. اکثر پژوهش‌های انجام شده در رابط مغز-رایانه بر اساس پتانسیل الکتریکی برانگیخته می‌باشند و از سیگنال‌های مغزی خام در سیستم‌های مغز-رایانه کمتر استفاده شده است.^(۲۰) در این پژوهش جهت نوآوری با استفاده از سیگنال‌های مغزی خام، نوع تکلیف ذهنی انتخاب شده به گونه‌ای است که افراد براساس قدرت تخلیل خود، هدف خواسته شده را بدون بهره‌گیری از تصور فعالیت‌های متناظر با حرکت یا بیان کلمات در ذهن، به طور محض تصویرسازی ذهنی می‌کنند. هم‌چنین برای نخستین بار از الگوریتم آنالیز اجزاء مستقل هم در جهت استخراج نویزها و آرتیفیکتها و هم در جهت تعیین سیگنال هدف برای جهت‌های بالا، پایین، چپ و راست استفاده شده است.

مواد و روش‌ها

در این مطالعه توصیفی- تحلیلی، جامعه آماری مورد آزمایش شامل دو نفر مرد و یک نفر زن با بازه سنی ۲۵ تا ۳۰ سال بوده است. افراد دارای سلامت کامل جسمی و ذهنی بوده‌اند. توصیه‌های مورد نیاز قبل از ثبت سیگنال‌های مغزی ارائه شد و هم‌چنین اجازه نامه کتبی جهت ثبت سیگنال‌ها از داوطلبان گرفته شد. مواردی که باید جهت حذف عوامل مخدوش کننده پژوهش رعایت شوند عبارت اند از: ۱- تکلیف طولانی نباشد، ۲- آموزش‌ها از پیش به افراد داده شده باشد تا روال سیگنال‌گیری به درستی انجام شود، ۳- آزمایشگاه از شرایط مطلوب همچون دمای مناسب، نور مناسب، تهویه مناسب و خالی بودن دیوارها از تابلوهای مختلف برخوردار باشد. تمامی این عوامل قبل از شروع ثبت سیگنال‌ها مورد بررسی قرار گرفته و کنترل شده‌اند.

کننده را حذف و عوامل تقویت کننده را بهبود بخشید.^(۱۶)
^(۱۵)

در مطالعه فرتلر و همکاران از سیگنال‌های مغزی کانال‌های C3 و C4 جهت تشخیص تصور حرکت دست راست و چپ با خطای تشخیصی به طور متوسط بین ۵/۸ درصد تا ۳۲/۸ درصد استفاده شده است.^(۱۶) هم‌چنین در مطالعه پالانیاپان و همکاران^(۱۷)، تفکیک سه فعالیت ذهنی از بین پنج فعالیت با دقت ۹۳ درصد براساس توان مؤلفه‌های سیگنال مغزی در فاصله صفر تا ۵۰ هرتز با استفاده از مدل ضرایب AR و الگوریتم برگ و تفکیک کننده شبکه فازی گزارش شده است.

در پژوهش انجام شده در سال ۲۰۱۳، جهت تفکیک سیگنال‌های مغزی در کابردهای رابط مغز-رایانه بر اساس تصور حرکت دست راست و چپ، گونه‌های مختلف طبقه‌بندی کننده‌ها بررسی شده که در این میان بهترین بازدهی جهت تفکیک سیگنال‌های تصور به تفکیک کننده‌های آنالیز جداساز خطی (LDA) با ۱۲/۱۴ درصد خطأ متعلق می‌باشد.^(۱۸)

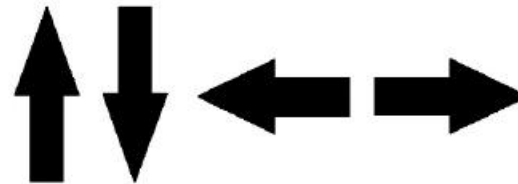
مطالعه انجام شده در سال ۲۰۱۴ به بررسی کامل مطالعات صورت گرفته در چندین سال اخیر در زمینه کابردهای سیستم‌های رابط مغز-رایانه در علم توان بخشی با رویکرد بازتوانی ارتباط با محیط پرامون پرداخته است.^(۱۹)

هدف از انجام این پژوهش طراحی و پیاده‌سازی رابط مغز-رایانه به منظور تفکیک سیگنال‌های مغزی حین تصور چهار جهت اصلی بالا، پایین، چپ و راست بر اساس تفکر و تخیلات ذهنی می‌باشد. سیستم‌هایی که بر اساس سیگنال‌های مغزی افراد طراحی شده‌اند، برای افرادی که دچار مشکلات حرکتی هستند مانند بیماران قطع نخاعی بسیار ایده‌آل است. در این سیستم‌ها سیگنال مغزی در حالت فعالیت‌های مختلف ذهنی از افراد ثبت می‌شود و پس از فرایندهای پردازشی و استخراج ویژگی با استفاده از طبقه‌بندی کننده‌ها طبقه‌بندی شده و به سیگنال کنترلی جهت کنترل دستگاه خارجی مانند موشواره رایانه و یا ویلچر

ثبت سیگنال های مغزی با استفاده از دستگاه میکرو مد ۱۹ کاتالو مدل SD64 محصول شرکت ایتالیایی میکرو مد متعلق به آزمایشگاه شناوری سنجری دانشکده توان بخشی دانشگاه علوم پزشکی ایران انجام شد. داوطلبان در یک اتاق ایزو لوله صوتی با نور کم بر روی صندلی راحتی که فاصله آن با مانیتور استاندارد می باشد، آزمون را انجام دادند. سیگنال های EEG با نصب الکترودهایی از جنس نقره / نقره کلربید که مطابق با استاندارد ۲۰-۱۰ جای گذاری شدند و توسط یک کلاه کشسان روی سر شخص ثابت نگه داشته می شدند، ثبت گردیدند. کاتال های ثبت سیگنال ها شامل C3, C4, T4, F7, F3, Fz, F4, F8, FP2, FPz, FP1, T5, T6, P4, P3, O1, O2, Oz در این پروژه، ثبت در حالت تک قطبی انجام شده است و تمامی کاتال ها دارای یک مرجع مشترک (الکترود Cz) بودند. همچنین یکی از کاتال ها به عنوان الکترود زمین مورد استفاده قرار گرفت. سیگنال اخذ شده با فرکانس ۱۰۲۴ هرتز نمونه برداری شد و برای حذف فرکانس ۵۰ هرتز برق شهر، در حین آزمایش با توجه به قابلیت دستگاه، فیلتر شکافی روی سیگنال اعمال شد و بدین ترتیب اثر فرکانس برق شهر از روی سیگنال حذف گردید.

با توجه به شکل ۲، پس از نمایش تکلیف به داوطلبان و ثبت داده های خام سیگنال های مغزی، سیگنال ها نیازمند پیش پردازش هایی می باشند تا جهت استخراج ویژگی و طبقه بندی آماده گردند. اولین قدم در مرحله پیش پردازش جداسازی بازه های تفکر و دسته بندی هر یک در گروه های بالا، پایین، چپ و راست می باشد. در مرحله دوم حمل کاهش بعد داده به منظور کاهش بعد سیگنال و به تبع آن کاهش حجم محاسبات بر روی سیگنال انجام شد و بدین ترتیب نرخ نمونه برداری از ۱۰۲۴ هرتز به ۲۵۶ هرتز تغییر یافت. در مرحله سوم برای برقراری شرط ایستا بودن در داده های آماری و همچنین به منظور افزایش تعداد داده های آموزش و تست، طول سیگنال به قطعات کوچک تری تقسیم شد و برای این که روند تغییرات ویژگی در هر قطعه زمانی نسبت به قطعه زمانی قبل ناپیوستگی نداشته باشد، برای همه

قبل از ثبت سیگنال های مغزی، تکلیفی جهت نمایش به افراد برای ثبت فعالیت های ذهنی آنان طراحی شد. برای طراحی تکلیف جهت نمایش به داوطلبان، از چهار جهت اصلی بالا، پایین، چپ و راست استفاده شد (شکل ۱). ساختار تکلیف به گونه ای بود که ابتدا یک صفحه خالی و سفید رنگ به مدت ۱۵ ثانیه مقابل شخص ظاهر می گردید. از شخص آزمون دهنده خواسته می شد که در این زمان ذهن خود را آرام سازد، پس از سپری شدن این زمان یکی از فلاش ها (بالا، پایین، چپ، راست) بر روی صفحه ظاهر می شد و شخص موظف به تصور فلاش در این بازه زمانی بود. در مرحله پایانی، یک صفحه سیاه ظاهر می شد که به مدت ۱۵ ثانیه باقی می ماند و شخص در این فاصله مجاز به استراحت بود.

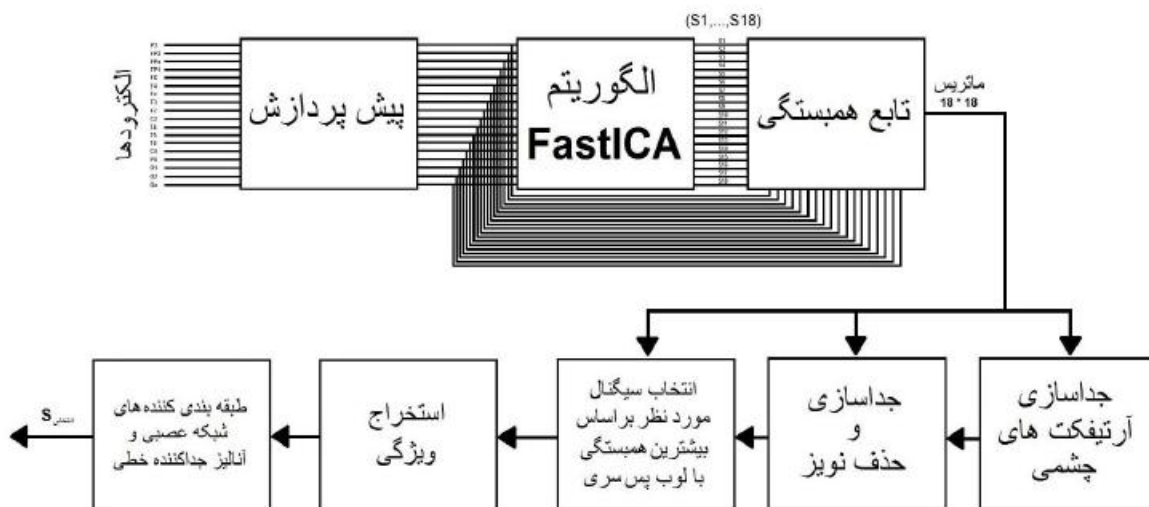


شکل ۱. چهار جهت اصلی بالا، پایین، چپ و راست برای طراحی تکلیف

مراحل فوق برای هر شخص ۲۴ مرتبه تکرار شد، به گونه ای که هر یک از فلاش ها ۶ بار و به صورت کاملاً تصادفی ظاهر گردیدند. تکرار هر مرتبه به صورت پیوسته و پشت سر هم انجام می شد، بنابراین کل زمان آزمون برای هر شخص ۱۲ دقیقه بود. پیش از شروع آزمون، شخص با نحوه اجرای تکلیف و مراحل آن آشنا گردید به گونه ای که تصویر چهار فلاش در جهت های اصلی بالا، پایین، چپ و راست که در تکلیف به کار برده شده بود، به شخص نشان داده شد و از او خواسته شد با دیدن هر یک از این فلاش ها تصویر آن را در ذهن خود مجسم کند و بیشتر حواس خود را به جهتی که فلاش به آن اشاره دارد متوجه کند. لازم به ذکر است که شخص حین تصور به هیچ وجه کلمات چپ، راست، بالا یا پایین را در ذهن خود تکرار نمی کند و تنها فلاش را مجسم می کند.

گردید. پس از اعمال الگوریتم ICA، تابع همبستگی بین سیگنال‌های ضبط شده مخلوط خروجی الکتروودها و سیگنال‌های مستقل به دست آمده از الگوریتم ICA اجرا گردید و بعد از اعمال تابع همبستگی، سیگنال‌های هدف انتخابی هر کدام از کلمات بالا، پایین، چپ و راست برای جداسازی آن‌ها در مرحله استخراج ویژگی و مرحله اعمال تفکیک کننده مورد بررسی قرار گرفتند.

قطعات یک همپوشانی در نظر گرفته شد. در این پژوهش، ۶ حالت مختلف (۵/ثانية، ۱/ثانية، ۱۰/ثانية، ۲۰/ثانية، ۳۰/ثانية) برای طول پنجره گذاری مورد بررسی قرار گرفت و همپوشانی نیز ۵۰ درصد در نظر گرفته شد. در مرحله آخر، مولفه جریان مستقیم (DC) از روی سیگنال‌ها حذف گردید و برای حذف نویزها و آرتیفیکت‌های سیگنال و جداسازی منابع مستقل، الگوریتم ICA بر روی سیگنال‌ها اعمال



شکل ۲. بلوك دیاگرام مراحل پردازشی چهار فعالیت ذهنی (بالا، پایین، چپ و راست). مرحله پیش پردازش شامل حذف DC، حذف فرکانس ۵۰ هرتز برق شهر، کاهش ترخ نمونه برداری از ۲۴ به ۶، اعمال الگوریتم ICA، اعمال تابع همبستگی، جداسازی آرتیفیکت‌ها و نویزهای سیگنال مغزی و انتخاب سیگنال هدف می‌باشد. سپس مراحل استخراج ویژگی و اعمال تفکیک کننده‌های شبکه عصبی و آنالیز جداگانه خطی اعمال شده‌اند.

فرکانسی مختلف شامل ۳۰، ۲۰، ۱۲، ۸-۱۲، ۸-۴ و ۴-۱ هرتز محاسبه گردید. در نهایت از میان ویژگی‌های مذکور یک ویژگی بهینه که صحت طبقه‌بندی برتری را ارائه می‌کند مشخص می‌گردد.

مهم‌ترین بخش یک رابط مغز-رایانه، طبقه‌بندی کننده است که هر قطعه از سیگنال EEG را بر اساس ویژگی‌های استخراج شده از آن به طبقه مناسب آن در بین دسته‌های مجاز فعالیت ذهنی تخصیص می‌دهد. در این پژوهش، برای طبقه‌بندی ویژگی‌های استخراج شده از طبقه‌بندی کننده آنالیز جدا کننده خطی (LDA) و شبکه عصبی استفاده شده است.

عملکرد شبکه عصبی با تعداد لایه‌های مختلف (۱۰، ۲۰، ۳۰) و تعداد نورون‌های مختلف

پس از انجام پیش پردازش‌های فوق بر روی سیگنال‌های مغزی می‌توان ویژگی‌های مورد نظر را استخراج کرد. ویژگی‌های استخراج شده از سیگنال‌ها در این پژوهش شامل ویژگی‌های مبتنی بر پارامتر، ویژگی‌های آماری، ویژگی‌های مبتنی بر توان باند فرکانسی و انرژی می‌باشند. در میان ویژگی‌های مبتنی بر پارامتر، ضرایب مدل خود بازگشتی (AR) مرتبه ۱ تا ۱۵ با استفاده از روش برگ از سیگنال استخراج گردید. از بین ویژگی‌های آماری، ویژگی میانگین قدرمطلق، انحراف معیار، کرتوسیس، چولگی و ممان مرتبه‌های ۱ تا ۲۲ انتخاب شد. برای محاسبه ویژگی‌های مبتنی بر توان باندهای فرکانسی و همچنین محاسبه انرژی سیگنال، ابتدا با استفاده از تبدیل فوریه سیگنال را به حوزه فرکانس برده و توان و انرژی در باندهای

می خواهیم به برداری M بعدی ($M < N$) برسیم که افزونگی ناشی از همبستگی مابین المان های آن حذف شده است.

مرحله دوم) سفید کردن داده ها: سفید کردن بردار ورودی \underline{X} یعنی پافن تبدیل خطی که آن را به بردار تصادفی ناهم بسته با واریانس واحد تبدیل کند.

$$\underline{X} \rightarrow \underline{X} - E(\underline{X}) \quad (1)$$

مرحله سوم) انتخاب مقدار اولیه دلخواه برای بردار W (با نرم واحد): بعد از تبدیل بردار مشاهدات \underline{X} به بردار سفید شده \underline{Z} به دنبال ترکیب خطی از المان های \underline{Z} هستیم که تا حد امکان خیرگوسی باشد.

$$\underline{Z} = V \cdot \underline{X} \quad (2)$$

$$\{\underline{Z} \underline{Z}^T\} E = 1 \quad (3)$$

E ماتریسی است که ستون های آن بردارهای ویژه $C_{\underline{X}}$ می باشد و $D = diag(d_1, d_2, \dots, d_N)$ (d_1, d_2, \dots, d_N) ماتریسی قطری است که d_i ها مقادیر ویژه $C_{\underline{X}}$ هستند. هم چنین ماتریس سفید کننده \underline{X} به صورت زیر خواهد بود.

$$D^{-1/2} \underline{Z}^T V = \quad (4)$$

مرحله چهارم) تبدیل W به صورت معادله (۵) که در آن g مشتق توابعی دلخواه اما غیر درجه ۲ می باشد مانند معادلات (۶) و (۷).

$$\{z g(w^T z)\} E \{g'(w^T z)\} z - E \quad (5)$$

$$G_1(y) = \frac{1}{\alpha_1} \log(\cosh(\alpha_1 y)) \quad (6)$$

$$1 \leq \alpha_1 \leq 2 \quad (6)$$

$$G_2(y) = -\exp(-y^2/2) \quad (7)$$

مرحله پنجم) نرمالیزه کردن W

$$\underline{W} = \frac{\underline{W}}{\|\underline{W}\|} \quad (8)$$

مرحله ششم) در صورت نرسیدن به درجه هم گرايی مطلوب به مرحله چهارم باز می گردیم (۲۱).

استخراج ویژگی، نقش مهمی را در کارایی سیستم های رابطه مغز-رایانه ایفا می کند. زیرا ویژگی های نامرتبط یا اضافی باعث پیجیدگی فرآیند طبقه بندی و وجود خطأ در فرآیند پیش بینی می شود. در این پژوهش ضرایب مدل AR، میانگین قدر مطلق آماری، انحراف معیار آماری، ممان، کرتوسیس، چولگی و توان و انرژی سیگنال به عنوان ویژگی از سیگنال استخراج گردیده است.

موجود در لایه های مخفی و توابع جداساز مختلف (purlin, logsig, tansig, hardlim) بهینه شبکه عصبی بر اساس صحت تفکیک مشخص می گردد. صحت های طبقه بندی براساس معیار ارزیابی متناطع با $K=10$ محاسبه شده است، به گونه ای که درصد ویژگی های استخراج شده به عنوان داده های آزمایشی و ۹۰ درصد باقی مانده به عنوان داده های آموخته در نظر گرفته می شوند. سپس عمل طبقه بندی انجام شده و یک صحت طبقه بندی اعلام می شود. این عمل ده بار تکرار شده، ولی در هر بار ویژگی های جدیدی در دسته داده های آزمایشی قرار می گیرند که قبل از این دسته واقع نشده بودند. بنابراین، همه ویژگی ها یک بار به عنوان داده های آزمایشی در نظر گرفته می شوند. در پایان، میانگین صحت های به دست آمده در همه تکرارها گرفته شده و صحت نهایی مشخص می شود.

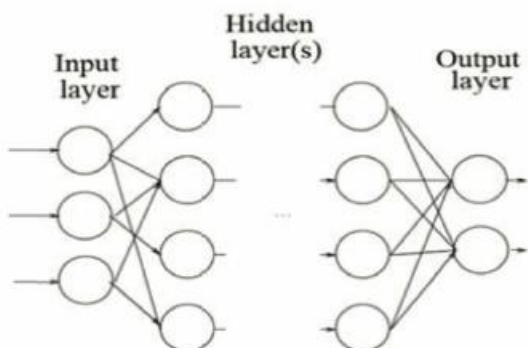
در نهایت مقایسه ای بین طبقه بندی کننده آنالیز جدا کننده خطی و شبکه عصبی بهینه نیز صورت می گیرد. روش های آماری بیان کننده مراحل ریاضی صورت گرفته توسط الگوریتم های پردازشی بر روی سیگنال های مغزی با استفاده از رایانه و یا هر سیستم پردازشی دیگر مانند کارت پردازش سیگنال دیجیتال (DSP) در مراحل استخراج ویژگی و تفکیک کننده می باشند. روش های آماری شامل مراحل اعمال الگوریتم آنالیز اجزاء مستقل، استخراج ویژگی و تفکیک کننده ها هستند.

الگوریتم آنالیز اجزاء مستقل یکی از متداول ترین روش های مطرح در تفکیک کور منابع، آنالیز اجزاء مستقل ICA نام دارد. در این روش سیگنال ها را به اجزاء تشکیل دهنده اش با مراجع مستقل از هم تجزیه می کنند. تاکنون الگوریتم های متعددی برای پیاده سازی تئوری ICA ارائه شده است. یکی از متداول ترین این روش ها، روش FastICA است که در این پژوهش از آن استفاده شده است. مراحل پیاده سازی الگوریتم برای تجزیه سیگنال ها به صورت زیر می باشد:

مرحله اول) صفر کردن متوسط داده ها: در ICA ما بردار N بعدی \underline{X} از مشاهدات را در اختیار داریم و

$$K = \frac{E(x-\mu)^4}{\sigma^4} \quad (15)$$

طبقه کننده شبکه عصبی: شبکه عصبی مصنوعی یک سامانه پردازشی داده ها است که از مغز انسان ایده گرفته و پردازش داده ها را به عهده پردازنده های کوچک و بسیار زیادی سپرده که به صورت شبکه ای به هم پیوسته و موازی با یکدیگر رفتار می کنند تا یک مسئله را حل نمایند. در این شبکه ها، ساختار داده ای به کمک دانش برنامه نویسی طراحی می شود که می تواند همانند نورون عمل کند که به این ساختار داده نورون گفته می شود. سپس با ایجاد شبکه ای بین این نورون ها و اعمال یک الگوریتم آموزشی به آن، شبکه را آموزش می دهنند. یک شبکه عصبی شامل اجزای سازنده لایه ها و وزن ها می باشد. رفتار شبکه نیز وابسته به ارتباط بین اعضاء است. در حالت کلی در شبکه های عصبی سه نوع لایه نورونی وجود دارد: لایه ورودی، لایه های پنهان و لایه خروجی (شکل ۳).



شکل ۳. لایه های مختلف یک شبکه عصبی مصنوعی (۲۴).

طبقه کننده آنالیز جداساز خطی: تابع جداساز، یک ترکیب خطی از مولفه های x است و به صورت زیر تعریف می شود:

$$g(x) = W^T x + w_0 \quad (16)$$

در رابطه فوق، W بردار وزن ها و w_0 بایاس یا وزن آستانه است. برای یک طبقه بندی کننده دو-کلاسه خطی قانون تصمیم گیری عبارت است از: اگر $g(x) > 0$ باشد، آن گاه کلاس ۱ انتخاب می شود و اگر $0 < g(x) \leq 0$ باشد، کلاس ۰ انتخاب می شود و در صورتی که $g(x) = 0$ است، هر دو کلاس می توانند به طور

ضرایب مدل خود بازگشتی AR: در مدل AR خروجی در هر لحظه از روی ورودی نویز در همان لحظه و مجموع خروجی ها در لحظه های ما قبل به دست می آید. به N درجه مدل می گویند. ضرایب (a_1, a_2, \dots, a_N) استفاده شوند (۲۲).

$$y(t) = -a_1 y(t-1) - a_2 y(t-2) - \dots - a_N y(t-N) + V(t) \quad (9)$$

$$\frac{Y(z)}{V(z)} = \frac{1}{1 + a_1 z^{-1} + \dots + a_N z^{-N}} \quad (10)$$

میانگین قدر مطلق آماری: در دانش آمار میانگین، نویی سنجش گرایش به مرکز است و عبارت است از قدر مطلق مجموع مقادیر موجود در یک مجموعه داده ها تقسیم بر تعداد آن ها.

$$\bar{x} = \frac{1}{N} \sum_{n=1}^N |x[n]| \quad (11)$$

انحراف معیار آماری: انحراف معیار عددی است که نشان می دهد تا چه فاصله ای از مقدار متوسط داده ها هنوز واریانس وجود دارد. برای محاسبه انحراف معیار کافی است ریشه دوم واریانس را حساب کنیم. \bar{x} در رابطه زیر میانگین آماری سیگنال می باشد.

$$\text{std} = \left(\frac{1}{N} \sum_{n=1}^N (x[n] - \bar{x})^2 \right)^{\frac{1}{2}} \quad (12)$$

مان: با فرض ارگادیک بودن سیگنال به صورت زیر تعریف می گردد که در آن m میانگین آماری می باشد.

$$m_k = E(x - \mu)^k \quad (13)$$

چولگی: این ویژگی عدم تقارن داده ها را حول میانگین ارزیابی می کند. چولگی طبق رابطه زیر به دست می آید که در آن m میانگین و S انحراف معیار متوسط است.

$$S = \frac{E(x - \mu)^3}{\sigma^3} \quad (14)$$

کرتوسیس: کرتوسیس اندازه گیری ای است که به عنوان یک معیار نشان می دهد تابع چگالی احتمال حول نقطه میانگین چقدر تیز است. به لحاظ ریاضی، کرتوسیس تعریف مشخصی دارد که بر طبق رابطه زیر به دست می آید که در آن m میانگین و S انحراف معیار متوسط است (۲۳).

در این پژوهش طبقه‌بندی چهار کلاس مربوط به چهار جهت اصلی با تکنیک بکی در مقابل بکی انجام شده است و صحت‌های تفکیک به ازای تفکیک هر چهار کلاس از هم گزارش شده‌اند.

ویژگی‌های استخراج شده از سیگنال‌های مغزی به عنوان ورودی به طبقه‌بندی کننده‌ها داده شده است و خروجی هر طبقه‌بند به عنوان صحت تفکیک طبقه‌بندی چهار کلاس مختلف مربوط به جهت‌های بالا، پایین، چپ و راست گزارش شده است.

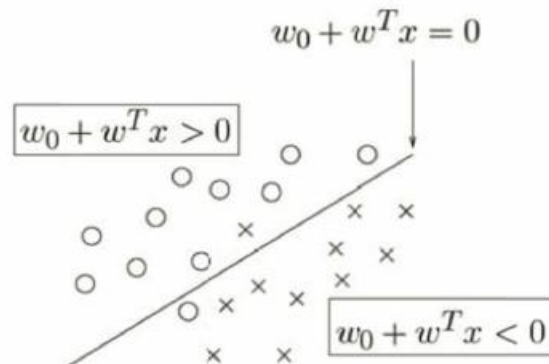
قابل ذکر است که تمامی مراحل پردازشی این پژوهش شامل ذخیره سازی داده‌ها و روش‌های آنالیز اطلاعات و پیاده سازی الگوریتم در محیط نرم افزار متلب انجام شده است.

یافته‌ها

صحت‌های تفکیک گزارش شده در جدول ۱، برای ویژگی ضرایب AR مرتبه ۱ تا ۱۵ و معان مرتبه ۱ تا ۲۲ و هم‌چنین توان در ۵ باند فرکانسی ۸-۳۰، ۱۲-۳۰، ۴-۸ و ۱-۴ در بالاترین صحت گزارش شده است.

تصادفی انتخاب شوند. در شکل ۴ قانون تصمیم‌گیری فوق نشان داده شده است.

تفکیک آنالیز جداکننده خطی به گونه‌ای است که با ایجاد یک مرز خطی به تفکیک دو کلاس می‌پردازد. روش آنالیز جداساز خطی سعی دارد یک متغیر مستقل را به عنوان ترکیبی خطی از ویژگی‌های دیگر بیان کند. این متغیر مستقل در LDA به شکل برچسب یک تابع جداساز خطی هر کلاس را از تک کلاس‌های دیگر جدا می‌نماید که به آن تکنیک یکی در مقابل یکی نیز می‌گویند (۲۴).



شکل ۴. قانون تصمیم‌گیری در یک طبقه‌بندی کننده دو کلاسه خطی (۲۴).

جدول ۱. برترین مقادیر صحت طبقه‌بندی آنالیز جداساز خطی به ازای ویژگی‌های مختلف و ۶ حالت پنجره زمانی

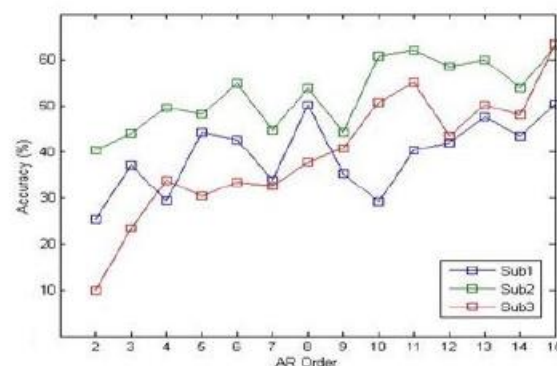
	آزمون دهنده ۳										آزمون دهنده ۲										آزمون دهنده ۱									
	۳	۲/۵	۲	۱/۵	۱	-۱/۵	۳	۲/۵	۲	-۱/۵	۱	-۱/۵	۳	۲/۵	۲	-۱/۵	۱	-۱/۵	۳	۲/۵	۲	-۱/۵	۱	-۱/۵						
ضرایب AR	۰/۹۲	۶۰/۴۹	۵۷/۲۰	۵۶/۹۰	۵۶/۲۰	۵۵/۸	۶۰/۶۰	۶۳/۴۱	۶۰/۸۰	۵۵/۲۰	۵۴/۶۰	۵۳/۱۰	۶۱/۲۰	۵۷/۸۹	۶۴/۳۰	۵۹/۲۰	۵۴/۹۰	۵۴/۵۰												
میانگین	۳۶/۹۹	۳۵/۶۸	۳۳/۸۶	۳۳/۲۳	۳۲/۱۰	۳۰/۸۰	۳۱/۶	۳۳/۵۸	۳۲/۶۱	۳۰/۲۵	۳۰/۹۹	۳۰/۱۲	۳۶/۸۹	۳۷/۰۲	۳۷/۳۴	۳۵/۹۸	۳۵/۲۶	۳۴/۰۹												
الحراف	۴۹/۸۹	۴۷/۲۱	۴۵/۶	۴۴/۹۵	۴۲/۷۶	۴۱/۵۸	۴۱/۳	۴۱/۵۸	۴۲/۷۵	۴۱/۴۲	۴۰/۵۸	۳۹/۸۹	۴۴/۲۵	۴۷/۸۹	۴۵/۶۵	۴۵/۵۰	۴۳/۹۹	۴۳/۸۷												
معیار ممان	۳۶/۱۷	۳۶/۲۶	۳۵/۲۰	۳۳/۳۸	۳۰/۸۹	۳۰/۲۸	۳۲/۷۸	۳۴/۹۳	۲۲/۱۹	۳۲/۵۹	۳۱/۵۹	۳۱/۰۲	۳۹/۱۵	۳۸/۹۴	۳۷/۵۹	۳۶/۹۸	۳۶/۲۷	۳۵/۲۹												
کوتیسیس	۳۶/۱۳	۳۶/۶۸	۳۵/۰۲	۳۳/۹۱	۳۳/۸۹	۳۲/۱۵	۳۵/۹۱	۳۴/۸۲	۳۲/۸۶	۳۲/۷۴	۳۲/۰۰	۳۶/۱۷	۳۷/۲۱	۳۷/۱۲	۳۵/۸۹	۳۵/۸۹	۳۳/۰۲	۳۳/۴۳	۳۲/۸۹											
اسکوتوس	۳۷/۲۵	۳۷/۰۰	۳۴/۲۹	۳۳/۹۸	۳۳/۸۵	۳۲/۴۵	۳۵/۸۴	۳۴/۸۵	۳۳/۲۷	۳۱/۸۹	۳۱/۲۶	۳۷/۲۳	۴۰/۲۱	۳۷/۹۸	۳۸/۲۱	۳۷/۱۲	۳۴/۰۳	۳۲/۸۰												
توان	۴۶/۵۶	۴۶/۶۵	۴۵/۸۵	۴۳/۱	۴۳/۹	۴۲/۲۰	۴۲/۰۱	۴۲/۲۳	۴۲/۵۸	۴۲/۰۱	۴۰/۹۰	۴۰/۰۱	۴۵/۲۶	۴۸/۰۹	۴۶/۵۶	۴۶/۵۲	۴۴/۸۵	۴۴/۲۵												

۱ و با توجه به آن که ویژگی ضرایب AR به عنوان برترین ویژگی شناخته شد، برای مقایسه بین مرتبه‌های مختلف ویژگی AR نمودار شکل ۵ ترسیم شده است. با توجه به این نمودار، ویژگی AR مرتبه ۱۵ برای هر سه شرکت کننده نتایج بهتری را ارائه کرده است.

با توجه به جدول ۱، طول ۲/۵ ثانیه برای پنجره زمانی بهترین صحت‌های تفکیک را به دست داده و در بین ویژگی‌های مختلف استخراجی ویژگی ضرایب مدل AR با اختلاف بالایی در تمامی حالات، صحت‌های تفکیک برتری را حاصل می‌آورد. با نظر به نتایج ارائه شده در جدول

شکل ۵. نمودار صحت تفکیک آنالیز جداساز خطی بر حسب ضرایب مدل AR مرتبه ۱۵

جدول ۲ مقایسه بین ۳۶ حالت مختلف شبکه عصبی که در تعداد لایه، تعداد نورون و توابع جداساز تفاوت دارند را نشان می دهد.



جدول ۲. صحت طبقه‌بندی در حالت های مختلف شبکه عصبی به ازای طول پنجره زمانی ۰.۵ ثانیه و ویژگی AR مرتبه ۱۵

توابع شبکه عصبی												آزمون دهنگان
Hardlim			Tansig			Logsig			Purlin			
۳۰	۲۰	۱۰	۳۰	۲۰	۱۰	۳۰	۲۰	۱۰	۳۰	۲۰	۱۰	آزمون دهنگان
۲۶/۵۵	۲۷/۱	۲۶/۷۶	۵۹/۳۹	۵۵/۸۹	۵۵/۹۶	۵۷/۴۱	۵۷/۱۷	۵۷/۲۴	۵۷/۵۲	۵۶/۲۳	۵۸/۶۰	۱
۲۷/۴۸	۲۶/۳۶	۲۷/۲۳	۵۶/۴۷	۶۰/۰۲	۵۸/۸۹	۵۶/۱۴	۵۷/۲۰	۵۶/۶۸	۵۹/۲۶	۶۰/۱۶	۵۷/۵۰	آزمون
۲۷/۰۱	۲۶/۳۵	۲۶/۸۵	۵۵/۶۱	۵۷/۸۶	۵۶/۶۵	۵۷/۱۵	۵۷/۹۹	۵۷/۳۲	۵۶/۵۲	۵۷/۷۳	۵۶/۸۵	۱ دهنده
۲۶/۳۶	۲۶/۸۵	۲۶/۵۳	۴۸/۸۸	۴۸/۴۳	۴۸/۵۶	۴۷/۰۳	۴۶/۳۵	۴۵/۴۲	۵۰/۹۱	۵۰/۷۰	۴۸/۶۳	۱
۲۵/۶۹	۲۶/۵۶	۲۵/۹۹	۴۷/۲۹	۴۸/۱۳	۴۵/۲۸	۴۸/۲۲	۴۷/۱۳	۴۵/۵۸	۴۹/۹۷	۴۹/۹۴	۵۰/۳۷	آزمون
۲۷/۰۱	۲۷/۸۲	۲۷/۱۲	۵۱/۷۸	۴۷/۲۲	۴۴/۸۹	۵۱/۷۰	۴۸/۹۲	۴۵/۷۲	۵۰/۲۵	۵۲/۲۱	۴۸/۳۳	۱ دهنده
۲۶/۸۵	۲۶/۱۲	۲۷/۱۴	۵۷/۲۲	۵۴/۷۴	۵۱/۶۶	۵۴/۹۸	۵۳/۰۱	۴۸/۴۶	۴۹/۲۱	۴۸/۲۷	۴۹/۷۹	۱
۲۶/۱۵	۲۵/۷۸	۲۶/۸۹	۵۱/۷۶	۵۱/۲۵	۵۰/۹۳	۴۸/۲۴	۵۰/۴۷	۴۶/۶۸	۴۹/۰۲	۵۱/۵۲	۵۰/۶۹	آزمون
۲۷/۰۲	۲۷/۱۶	۲۶/۹۴	۵۲/۶۲	۵۰/۴۹	۴۵/۲۲	۵۰/۰۹	۴۹/۵۱	۴۵/۹۱	۵۴/۷۵	۴۹/۱۲	۵۲/۶۵	۱ دهنده

بحث

با نظر به آن که سیگنال های مغزی در ساخت سیستم های BCI به عنوان اساسی ترین رکن لحاظ می گردد، از این رو شیوه های ثبت سیگنال حائز اهمیت می باشند. به دلیل امکانات فعلی، کم هزینه ترین روش ثبت این سیگنال ها، ثبت داده های EEG است. از دیگر مزایای این روش ثبت سادگی، خیر تهاجمی بودن و رزولوشن زمانی بالای آن می باشد. با توجه به کاربرد روزمره سیستم های BCI برای کاربران، مساله شایان ذکر دیگر نوع فعالیت های ذهنی است. انتخاب این فعالیت ها باید به گونه ای باشد که در انواع شرایط مختلف و برای افراد مختلف قابل انجام باشد و تکرار آن برای آن ها ملاحل آور و خسته کننده نباشد. از سوی دیگر، فعالیت های ذهنی انتخاب شده باید با نوع خروجی سیستم سختی داشته باشد. فعالیت های ذهنی انتخاب شده در این پژوهش می توانند در راستای پیاده سازی رابطه های مغز-رایانه جهت کاربردهای مختلفی همچون حرکت ویلچر و یا حرکت یک نشانگر بر روی

با توجه به نتایج حاصله در جدول ۲ تفاوت قابل ملاحظه ای بین حالت های مختلف شبکه عصبی دیده نشد، به جز استفاده از تابع جداساز hardlim که اصلا مناسب نبود. جدول ۳ در مقایسه بین عملکرد دو طبقه بندی کننده شبکه عصبی و آنالیز جداساز خطی آورده شده است. نتایج نشان دهنده برتری تفکیک کننده آنالیز جداساز خطی نسبت به شبکه عصبی بود.

جدول ۳. صحت طبقه بندی در شبکه عصبی (حال ۲ لایه، ۰۰ نورون، تابع purlin) و آنالیز جداساز خطی به ازای طول پنجره زمانی ۰.۵ ثانیه و ویژگی ضرایب AR مرتبه ۱۵

آزمون دهنگان	طبقه بندی کننده	شبکه عصبی		
		آنالیز جداساز خطی	آزمون دهنگان	طبقه بندی کننده
آزمون دهنده ۱	۶۷/۸۹	۶۰/۱۶	۶۰/۱۶	آزمون دهنده ۱
آزمون دهنده ۲	۶۳/۴۱	۵۰/۷۰	۵۰/۷۰	آزمون دهنده ۲
آزمون دهنده ۳	۶۰/۴۹	۴۸/۲۷	۴۸/۲۷	آزمون دهنده ۳

برتری را می دهد. قابل ذکر است که از نظر زمان پردازش نیز طبقه بندی کننده آنالیز جدا کننده خطی بسیار بهینه تر از شبکه عصبی عمل کرد.

جهت مقایسه نتایج این پژوهش با نتایج پژوهش های نسبتا مشابه قبلی قابل ذکر است که این پژوهش با نتایج پژوهش های مربوط به آناتومی مغز انسان، تصاویر fMRI و بررسی توپوگرافی سر هنگام گفتار تصوری در ارتباطات خاموش واکه ای مطابقت داشته و بر طبق پژوهش های پیشین تعیین سیگنال هدف در گفتار خاموش را نشان می دهد.

در مقایسه بین نتایج مربوط به بخش تفکیک کننده ها در این پژوهش با پژوهش های نسبتا مشابه می توان به مطالعه آهنگی و همکاران (۱۸) اشاره کرد که نتایج مربوط به برتری عملکرد تفکیک کننده آنالیز جداساز خطی را نشان می دهد. در این پژوهش انجام شده در سال ۲۰۱۳، جهت تفکیک سیگنال های مغزی در کابرد های رابط مغز - رایانه بر اساس تصور حرکت دست راست و چپ و استخراج ویژگی براساس ضرایب تبدیل موجک، طبقه بندی کننده های آنالیز جداساز خطی، ماشین بردار پشتیبان و شبکه عصبی پرسپترون بررسی شده که در این میان بهترین بازدهی جهت تفکیک سیگنال های تصور به تفکیک کننده های آنالیز جداساز خطی (LDA) با ۱۲/۱۴ درصد خطأ، ماشین بردار پشتیبان (SVM) با ۱۱/۴۳ درصد خطأ و انتخاب بیشترین وزن (WMV) با ۱۰ درصد خطأ تعلق داشته و کمترین آن مربوط به شبکه عصبی پرسپترون چند لایه (MLP) با ۲۶ درصد خطأ بوده است.

نقاط ضعف و محدودیت های علمی تحقیق حاضر شامل کمبود امکانات آزمایشگاهی ثبت سیگنال ها، هزینه بالای ثبت سیگنال های مغزی، تعداد کم افراد شرکت کننده در آزمون با بازه سنی محدود، عدم امکان تصویر برداری مغزی در کنار ثبت سیگنال ها جهت مقایسه نتایج این دو با یکدیگر و محدودیت های دیگر می باشد که در مطالعات و تحقیقات آتی به دنبال رفع آنها هستیم.

شایان ذکر است که در پژوهش حاضر با وجود تعداد محدود آزمون دهنده گان نتایج مشابه در تمامی مراحل برای هر سه شرکت کننده حاصل آمد، از این رو در

مانیتور و هم چنین انواع حرکت ها در چهار جهت بالا، پایین، چپ و راست در محیط مجازی به کار گرفته شوند. در بررسی نتایج مربوط به این پژوهش، در بحث طول پنجره زمانی شبیه سازی ها نشان داد بهترین حالت مربوط به طول پنجره ۲/۵ ثانیه و بعد از آن ۲ ثانیه می باشد. در ادامه تحلیل ها با مشاهده نتایج مربوط به استخراج ویژگی، مشاهده گشت که در میان تمام ویژگی های استخراج شده از سیگنال ضرایب مدل AR برترین صحت های تفکیک را به دست می دهد. بنابراین پس از انجام این پژوهش می توان با قطعیت ضرایب مدل AR را به عنوان ویژگی برتر معرفی نمود. در بررسی مرتبه مدل ضرایب AR می توان گفت که ضرایب مرتبه ۱۵ برای هر سه آزمون دهنده نتایج بهتری را حاصل می آورد. نتایج مربوط به طول پنجره زمانی و استخراج ویژگی در هر دو طبقه بندی کننده شبکه عصبی و آنالیز جداساز خطی نتایج مشابهی را به دست دادند.

با بررسی نتایج مربوط به حالت های مختلف طبقه بندی کننده شبکه عصبی مشاهده شد که برای تمامی حالت های مختلف شبکه عصبی یعنی شبکه با تعداد لایه های مختلف (۱، ۲، ۳) و تعداد نورون های مختلف موجود در لایه های مخفی (۱۰، ۲۰، ۳۰) و توابع جداساز مختلف (purlin, logsig, tansig)، نتایج طبقه بندی یعنی صحت های تفکیک تفاوت چندان و قابل مقایسه ای نداشت، بد جز استفاده از تابع hardlim که اصلا مناسب نبود. در این پژوهش، استفاده از این تابع در شبکه عصبی به هیچ وجه توصیه نمی گردد. اما با توجه به این که با افزایش تعداد لایه ها و افزایش تعداد نورون های لایه مخفی حجم محاسبات بیشتر شده و به تبع آن زمان پردازش طولانی تر می گردد، از این رو شبکه با تعداد لایه کمتر (۱ لایه مخفی) و تعداد نورون های کمتر موجود در لایه مخفی (۱۰ نورون) از نظر زمانی بهینه تر می باشد. قابل ذکر است که استفاده از تابع purlin نیز نسبت به توابع دیگر (logsig و tansig) از نظر زمانی سرعت پردازشی بیشتری را داشت.

در نهایت با مقایسه بین طبقه بندی کننده مبتنی بر شبکه عصبی و آنالیز جداساز خطی مشخص گردید که استفاده از روش آنالیز جدا ساز خطی صحت های تفکیک

هم مقایسه گردید و حالت بهینه شبکه عصبی مشخص شد. در مقایسه بین شبکه عصبی و آنالیز جدا ساز خطی، آنالیز جدا ساز خطی به عنوان طبقه‌بندی کننده برتر از نقطه نظر صحت تفکیک و طول زمان پردازش، انتخاب گردید. با نظر به این موضوع که در مرحله طبقه‌بندی، چهار کلاس مختلف مربوط به هر یک از جهت‌های چپ، راست، بالا و پایین وجود دارد و صحت‌های طبقه‌بندی مبتنی بر تفکیک این چهار کلاس از هم می‌باشد، حصول دقت تفکیک ۶۹/۷۹ درصد در مقایسه با نتایج پژوهش‌های دیگر از جمله نتایج امیدوار کننده بود.

تشکر و قدردانی

مقاله حاضر برگرفته از پایان نامه مقطع کارشناسی ارشد در دانشگاه صنعتی مالک اشتر تهران با عنوان «رابطه مغز-رایانه جهت کاربرد موشاوه» است.

امکانات مورد نیاز پژوهش حاضر در واحد شناوری سنجی دانشکده توانبخشی دانشگاه علوم پزشکی ایران توسط جانب آقای دکتر مهدی اکبری فراهم گردید از این رو، نویسنده‌گان از همکاران صمیمانه ایشان و هم‌چنین از تمامی افراد شرکت کننده در این طرح سپاس گزاری می‌نمایند.

منابع

1. Guger C, Edlinger G, Harkam W, Niedermayer I, Pfurtscheller G. How many people are able to operate an EEG-based brain-computer interface (BCI)? *Neural Systems and Rehabilitation Engineering, IEEE Transactions on*. 2003; 11(2):145-7.
2. Wolpaw JR, Birbaumer N, Heetderks WJ, McFarland DJ, Peckham PH, Schalk G, et al. Brain-computer interface technology: a review of the first international meeting. *IEEE transactions on rehabilitation engineering*. 2000; 8(2):164-73.
3. Ribas GC. The cerebral sulci and gyri. *Neurosurgical focus*. 2010; 28(2):E2-3.
4. Karunanayaka P, Schmithorst VJ, Vannest J, Szaflarski JP, Plante E, Holland SK. A linear structural equation model for covert verb generation based on independent component analysis of fMRI data from children and

قطعیت نتایج حاصله از انتخاب روش‌های بهینه ابهامی وجود ندارد.

در تعمیم و ادامه کار این پژوهش نظر به این که انتخاب فعالیت‌های ذهنی مربوط به چهار جهت اصلی برای تحقق واسطه مغز-رایانه کاربردی جهت کنترل حرکت موشاوه رایانه مد نظر بوده است پیشنهاد می‌گردد جهت تکمیل عملکرد موشاوه آیکون کلیک کردن نیز مورد آزمون و بررسی قرار گیرد.

نتیجه گیری

سبیتم‌های رابطه مغز-رایانه یک کanal ارتباطی جدید را به جای مسیر طبیعی موجود، یعنی سبیتم عصبی موتوری از مغز به عضلات، جهت ایجاد تعامل با دنیای بیرون در اختیار کاربر قرار می‌دهد. در واقع، این کanal ارتباطی به هیچ حرکت فیزیکی نیاز ندارد و تنها با تفکرات ادمی کنترل می‌شود. این واسطه برای بیماران قطع نخاعی یا بیمارانی که به کلی فلجنده و نمی‌توانند هیچ حرکتی بکنند یا کسانی که دچار حارضه مغزی شده‌اند بسیار ایده‌آل می‌باشد. در این پژوهش، در راستای تحقق چنین واسطه‌ی سیگنال‌های مغزی فرد حین تصور شکل چهار فلاش در جهت‌های چپ، راست، بالا و پایین با روش الکترونسفالوگرافی ثبت گردید. در مرحله پیش پردازش از الگوریتم آنالیز اجزاء مستقل هم در جهت جداسازی و حذف آرتیفیکت‌ها و نوبزها و هم در راستای تعیین سیگنال هدف استفاده گردید.

در ادامه پس از انجام پیش پردازش‌هایی بر روی داده‌های خام، ویژگی‌هایی از سیگنال‌های حاصل شده استخراج گردید. شبیه سازی‌ها نشان داد که ویژگی برتر ضرایب مدل خود بازگشتی AR مرتبه ۱۵ می‌باشد. سپس بر اساس ویژگی‌های استخراج شده، هر قطعه از سیگنال به طبقه مناسب آن در بین دسته‌های مجاز فعالیت ذهنی تخصیص داده شد. برای این منظور از آنالیز جدا کننده خطی و شبکه عصبی به عنوان طبقه‌بندی کننده استفاده گردید و عملکرد شبکه عصبی در ۳۶ حالت مختلف که از لحاظ تعداد لایه‌های مخفی، تعداد نورون‌های موجود در لایه‌های مخفی و توابع جداسازی با یکدیگر تفاوت داشتند، با

- adolescents. *Frontiers in systems neuroscience*. 2011; 5:29-30.
5. Palmer ED, Rosen HJ, Ojemann JG, Buckner RL, Kelley WM, Petersen SE. An event-related fMRI study of overt and covert word stem completion. *Neuroimage*. 2001; 14(1):182-93.
 6. DaSalla CS, Kambara H, Sato M, Koike Y. Single-trial classification of vowel speech imagery using common spatial patterns. *Neural Networks*. 2009; 22(9):1334-9.
 7. Deng S, Srinivasan R, Lappas T, D'Zmura M. EEG classification of imagined syllable rhythm using Hilbert spectrum methods. *Journal of neural engineering*. 2010; 7(4):046006-7.
 8. De la Vega Arias J, Hintermüller C, Guger C, editors. Generic Brain-computer Interface for Social and Human-computer Interaction. Procedeing of the Fifth International Conference on Advances in Computer-Human Interactions Spain; 2012.p.145-9.
 9. Pérez-Marcos D, Buitrago JA, Velásquez FDG. Writing through a robot: A proof of concept for a brain-machine interface. *Medical engineering & physics*. 2011; 33(10):1314-7.
 10. Gentiletti G, Gebhart J, Acevedo R, Yáñez-Suárez O, Medina-Baüuelos V. Command of a simulated wheelchair on a virtual environment using a brain-computer interface. *Irbm*. 2009; 30(5):218-25.
 11. Royer AS, Doud AJ, Rose ML, He B. EEG control of a virtual helicopter in 3-dimensional space using intelligent control strategies. *Neural Systems and Rehabilitation Engineering, IEEE Transactions on*. 2010; 18(6):581-9.
 12. Wu C-H, Chang H-C, Lee P-L, Li K-S, Sie J-J, Sun C-W, et al. Frequency recognition in an SSVEP-based brain computer interface using empirical mode decomposition and refined generalized zero-crossing. *Journal of neuroscience methods*. 2011; 196(1):170-81.
 13. Piccione F, Giorgi F, Tonin P, Priftis K, Giove S, Silvoni S, et al. P300-based brain computer interface: reliability and performance in healthy and paralysed participants. *Clinical neurophysiology*. 2006; 117(3):531-7.
 14. Li Y, Guan C, Li H, Chin Z. A self-training semi-supervised SVM algorithm and its application in an EEG-based brain computer interface speller system. *Pattern Recognition Letters*. 2008; 29(9):1285-94.
 15. Blasco JS, Iáñez E, Ubeda A, Azorín JM. Visual evoked potential-based brain-machine interface applications to assist disabled people. *Expert Systems with Applications*. 2012; 39(9): 7908-18.
 16. Pfurtscheller G, Neuper C, Schlogl A, Lugger K. Separability of EEG signals recorded during right and left motor imagery using adaptive autoregressive parameters. *Rehabilitation Engineering, IEEE Transactions on*. 1998; 6(3):316-25.
 17. Palaniappan R, Paramesran R, Nishida S, Saiwaki N. A new brain-computer interface design using fuzzy ARTMAP. *Neural Systems and Rehabilitation Engineering, IEEE Transactions on*. 2002; 10(3):140-8.
 18. Ahangi A, Karamnejad M, Mohammadi N, Ebrahimpour R, Bagheri N. Multiple classifier system for EEG signal classification with application to brain-computer interfaces. *Neural Computing and Applications*. 2013; 23(5):1319-27.
 19. Bamdad M, Zarshenas H, Grailu H. A survey on BCI application in rehabilitation to improve. *Journal of Research in Rehabilitation Sciences*. 2014; 9(6): 1153-66.
 20. Woodman GF. A brief introduction to the use of event-related potentials in studies of perception and attention. *Attention, Perception, & Psychophysics*. 2010; 72(8):2031-46.
 21. Tichavský P, Koldovský Z, Oja E. Performance analysis of the FastICA algorithm and Cramé r-rao bounds for linear independent component analysis. *Signal Processing, IEEE Transactions on*. 2006; 54(4):1189-203.
 22. Fouad MM, Amin KM, El-Bendary N, Hassanien AE. *Brain Computer Interface: A Review*. *Brain-Computer Interfaces*: Springer; 2015. p. 3-30.
 23. Roman-Gonzalez A. *EEG Signal Processing for BCI Applications. Human-Computer Systems Interaction: Backgrounds and Applications 2*: Springer; 2012. p. 571-91.
 24. Duda RO, Hart PE, Stork DG. *Pattern classification*: John Wiley & Sons; 2012.